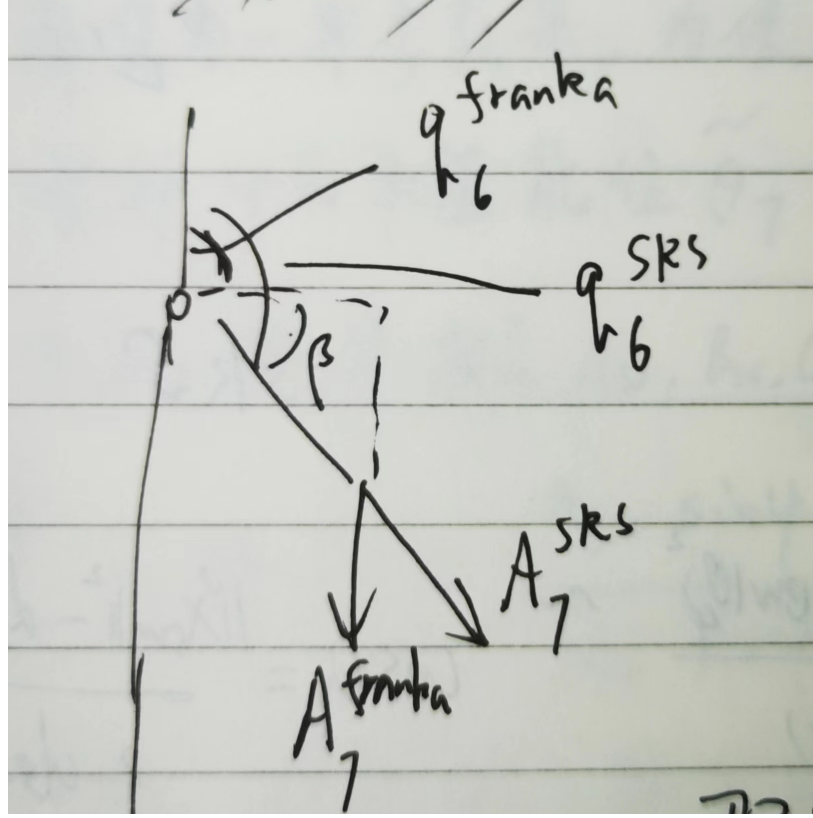


已知，对于SRS构型的七轴机械臂，如kuka iiwa，可以有解析反解<sup>[[1]](#ref1)</sup>，记此解析解为  $ik_{SRS}(T, \phi)$ 。其中， $T$ 是末端执行器的位姿矩阵， $\phi$ 是自由度参数。

对于franka emika七轴机械臂，由于SRS构型的条件不满足，以上算法失效。以下，我们提出一种方法，将franka机械臂等效为SRS构型机械臂，并以此为依据提出franka机械臂的一种解析反解。

#### STEP1，将末端化为SRS构型末端。



如图所示，在末端坐标相同时， $q_6^{franka}$ 和 $q_6^{SRS}$ 相差一个固定角度 $\alpha = \frac{\pi}{2} - \beta$ ，而不难计算出

$$\alpha = \arctan\left(\frac{offset}{d_{wt}}\right) = \arctan\left(\frac{88}{107}\right)$$

$$q_6^{franka} = q_6^{SRS} - \alpha$$

在 $q_7 = 0$ 时，两种构型的姿态关系为：

$$R_0^{SRS} = R_0^{franka} \cdot R_y(-\alpha)$$

而当 $q_7$ 不为0时，若令 $q_7^{SRS} = q_7^{franka}$ 则有：

$$R_0^{franka} = R^{franka} \cdot R_z(-q_7)$$

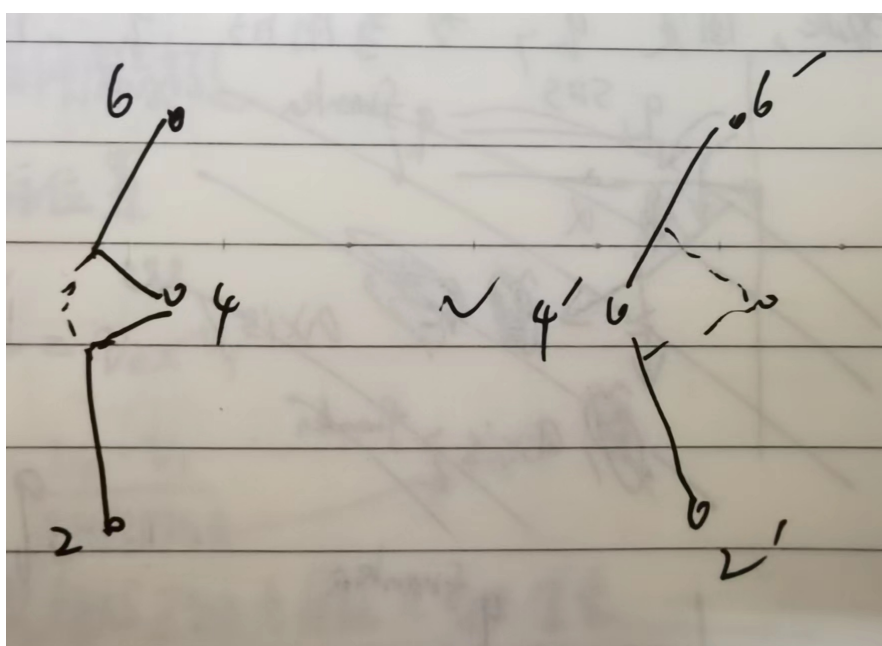
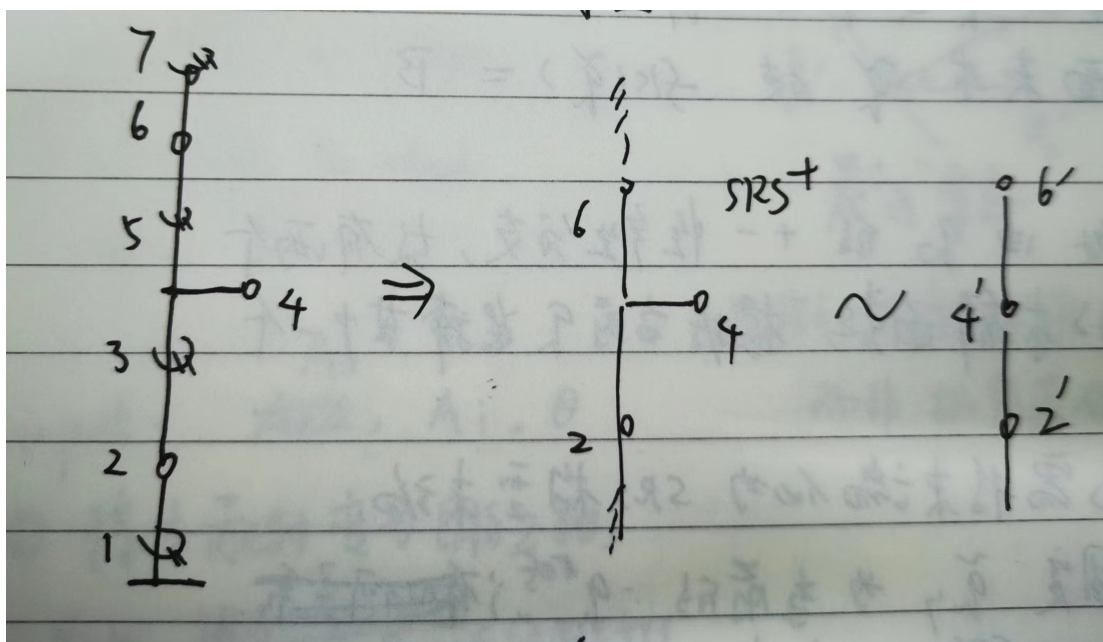
$$R^{SRS} = R_0^{SRS} \cdot R_z(q_7)$$

从而得到：

$$R^{SRS} = R^{franka} \cdot R_z(-q_7) \cdot R_y(-\alpha) \cdot R_z(q_7)$$

此时，得到了SRS+构型，也就是除了4轴处有偏移量之外，和SRS构型相同的构型。

#### STEP2，将4轴转化为等效的SRS构型



如图所示，由于四轴偏移，franka虽然可以等效为SRS构型机械臂，但由于等效机械臂的4轴处连杆和 $q_4$ 有关，所以此等效模型准确说来是依赖于 $q_4$ 的一族等效SRS机械臂。

然而，虽然相较于SRS模型更复杂，我们仍然能够求解 $q_4$ 。

在SRS构型机械臂中，有如下方程：

$$\cos q_4 = \frac{|x_{sw}^0|^2 - d_{se}^2 - d_{ew}^2}{2d_{se}d_{ew}}$$

而在SRS+构型中，有如下方程：

$$\cos q_4 = \frac{|x_{sw}^0|^2 - d_{se}(q_4)^2 - d_{ew}(q_4)^2}{2d_{se}(q_4)d_{ew}(q_4)}$$

令 $x_{sw}^0$ 长度为 $\lambda$ ，4轴两侧连杆长度为 $d, \delta$ ，偏移量为 $k$ ，上述方程化为如下形式的方程：

$$\cos \theta = \frac{\lambda - (d + k \cdot \tan \frac{\theta}{2})^2 - (\delta + k \cdot \tan \frac{\theta}{2})^2}{2 \cdot (d + k \cdot \tan \frac{\theta}{2})(\delta + k \cdot \tan \frac{\theta}{2})}$$

从此方程可以解出 $q_4$ （具体求解方法见附录），从而得到等效的两侧连杆长度为：

$$\hat{d}_{se} = d_{se}(q_4), \hat{d}_{ew} = d_{ew}(q_4)$$

### STEP3: 确定等效SRS构型自由度参数

而一旦确定了 $\theta_4$ ，由SRS构型解的特性，知道有一个参数 $\phi$ 使得解集是一个单参数集，由于我们在STEP1中要求 $q_7^{SRS} = q_7^{franka}$ ，为使等效SRS模型的 $q_7$ 求解后等同于franka的 $q_7$ ，需要决定 $\phi$ 的取值使得解出的 $q_7^{SRS}$ 等于 $q_7^{franka}$ 。

根据参考文献，在SRS模型中，求解 $q_4$ 后可以构造矩阵 $A_w, B_w, C_w$ 。由于我们采用的是等效法，需要用 $R^{SRS}, \hat{d}_{se}, \hat{d}_{ew}$ 代替 $R^{franka}, d_{se}, d_{ew}$ 来计算矩阵。根据矩阵得到 $q_7$ 和 $\phi$ 的关系：

$$-\tan q_7 = \frac{a_{32} \sin \phi + b_{32} \cos \phi + c_{32}}{a_{31} \sin \phi + b_{31} \cos \phi + c_{31}}$$

从而通过简单的和差化积就能得到 $\phi$ 的值

### STEP4: 代入等效SRS构型求解

根据参考文献的方法，继续求出矩阵 $A_s, B_s, C_s$ ，在已有自由度参数 $\phi$ 的情况下，就可以求出 $q_1$ 到 $q_3, q_5$ 和 $q_6^{SRS}$ 。

再利用STEP1中 $q_6^{franka}$ 和 $q_6^{SRS}$ 的关系求出 $q_6$ 。至此，完成指定 $q_7$ （即以 $q_7$ 为自由度参数）的franka emika解析反解。

### APPENDIX: 特殊方程的求解

首先，

$$\cos \theta = \frac{1 - \tan^2 \frac{\theta}{2}}{1 + \tan^2 \frac{\theta}{2}}$$

令：

$$x = \tan \frac{\theta}{2}$$

方程化为：

$$\frac{1 - x^2}{1 + x^2} = \frac{\lambda - (d + kx)^2 - (\delta + kx)^2}{2 \cdot (d + kx)(\delta + kx)} \implies Ax^2 + Bx^2 + C = 0$$

此处：

$$A = 4k^2 + (b - d)^2 - \lambda^2$$

$$B = 4k(b + d)$$

$$C = (b + d)^2 - \lambda^2$$

从而容易求解。

### 参考文献

[1] [JM. Shimizu, H. Kakuya, W. Yoon, K. Kitagaki and K. Kosuge, "Analytical Inverse Kinematic Computation for 7-DOF Redundant Manipulators With Joint Limits and Its Application to Redundancy Resolution," in IEEE Transactions on Robotics, vol. 24, no. 5, pp. 1131-1142, Oct. 2008, doi: 10.1109/TRO.2008.2003266.](#)